



БИООРГАНИЧЕСКАЯ ХИМИЯ

том 17 * № 8 * 1991

УДК 547.996 : 548.737

© 1991 г.

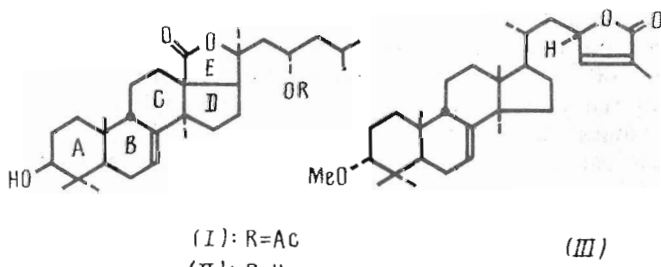
С. Г. Ильин, В. Ф. Шарытов, В. А. Стоник,
М. Ю. Антипин, Ю. Т. Стручков, Г. Б. Еляков

КРИСТАЛЛИЧЕСКАЯ И МОЛЕКУЛЯРНАЯ СТРУКТУРА (23S)-АЦЕТОКСИ-9 β -ГОЛОСТ-7-ЕН-3 β -ОЛА И СТЕРЕОХИМИЧЕСКИЕ ОСОБЕННОСТИ МИГРАЦИИ ДВОЙНОЙ СВЯЗИ ИЗ ПОЛОЖЕНИЯ 7(8) В 8(9) И 9(11) В ТРИТЕРПЕНОИДАХ ГОЛОСТАНОВОГО РЯДА

Тихоокеанский институт биоорганической химии ДВО АН СССР, Владивосток

Проведено рентгеноструктурное исследование (23S)-ацетокси-9 β -голост-7-ен-3 β -ола $C_{32}H_{50}O_3$ — нативного агликона гликозидов голотурий семейства Stichopodidae (дифрактометр, λ Mo, $-120^\circ C$, 2751 отражение, прямой метод, анизотропное уточнение, $R = 0,053$). Монохлениевые кристаллы: пр. гр. $P2_1$, $Z=2$; $a = 14,036$, $b = 6,748$, $c = 16,630 \text{ \AA}$, $\beta = 112,59^\circ$. Определена конформация молекулы и дана стереохимическая интерпретация изомеризации нативных генинов голотурий, имеющих лабильный фрагмент 9 β -голост-7-ена, в присутствии протонных кислот.

Тriterpenовые гликозиды, широко распространенные в растительном мире, среди животных обнаружены только в некоторых морских беспозвоночных, в частности у голотурий (*Echinodermata holothirioidea*). Гликозиды многих голотурий в качестве агликонов содержат специфические производные ланостанового ряда с 18—20-членным лактонным циклом (голостанолы [1]). Общность строения скелета голостанолов подтверждена несколькими работами по их корреляции [2—4] и рентгеноструктурным анализом четырех артефактных агликонов [5—8]. Настоящая работа посвящена результатам рентгеноструктурного исследования нативного агликона (I) гликозидов голотурий семейства Stichopodidae. Предварительные сообщения о строении соединения (I) и его дезацетилированного производного (II) были опубликованы нами и японскими исследователями [7—10]. Однако многие стереохимические особенности структуры агликона (I) остались неосвещенными.



(I): R=Ac

(II): R=H

(III)

Строение соединения (I)—(20S, 23S)-23-ацетокси-9 β -голост-7-ен-3 β -ола установлено рентгеноструктурным анализом. На рис. 1 представлена пространственная структура молекулы, полученная на основе координат атомов, определенных в кристалле (таблица).

Для характеристики конформаций циклов агликона (I) приведены значения эндоциклических торсионных углов (рис. 2), из которых следует конформация циклов: А — кресло, В — 5 α -софа, С — скрученная ванна. Такое редкое для тритерпеноидов сочетание конформаций циклов наблю-

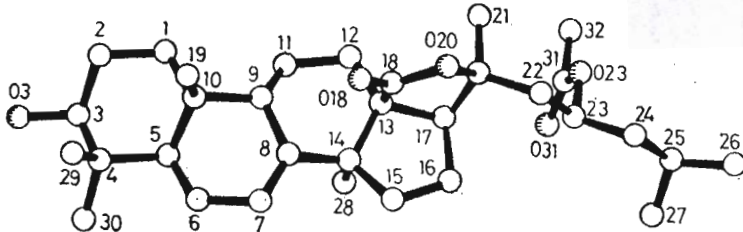


Рис. 1. Пространственная структура молекулы соединения (I) и нумерация атомов

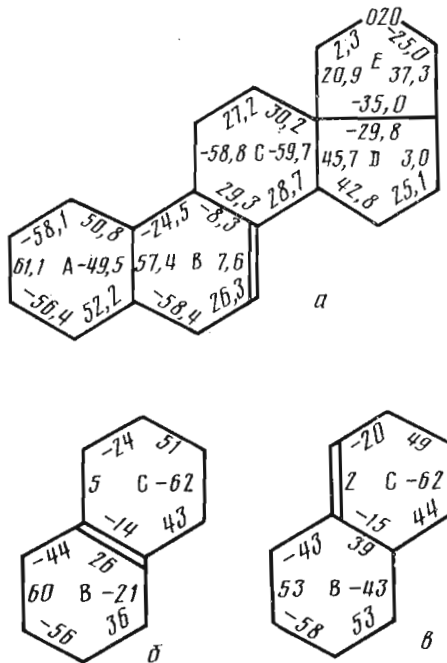


Рис. 2. Эндоциклические торсионные углы в молекуле соединения (I) (а) и в циклах В и С соединений (IV) (б) и (V) (с) в градусах

далось лишь в исследованном ранее абиеслактоне (III) [11] и, по-видимому, характерно для молекул ланостанового и голостанового рядов, обладающих 7(8)-двойной связью и 9 β -конфигурацией. Конформация цикла D — 14 α -конверт. Лактонный цикл Е имеет конформацию уплощенного 17 β -конверта за счет взаимодействия заместителей при C13 и C20 (расстояние C(12)...C(21) — 3,243(6) Å). Наличие 9 β -Н и 7(8)-еновых фрагментов, обусловливающих высокозергетичные конформации циклов молекул, приводит к особому свойству этих соединений: миграции в кислотных условиях двойной связи из положения 7(8) в 8(9) и 9(11).

Впервые такая миграция наблюдалась при обработке абиеслактона (III) газообразным хлористым водородом в хлороформе [12]. На основании результатов рентгеноструктурного анализа абиеслактона был сделан вывод, что ее причиной являются напряжения, вызываемые необычной для тритерпеноидов ланостанового ряда 9 β -конфигурацией. Позднее эта трансформация была также обнаружена в агликоне (I) ряда тритерпеноидных гликозидов голотурий при их гидролизе [9].

Имеющиеся в настоящее время данные рентгеноструктурного анализа для соединений (I)–(III) указывают на конформационную близость циклов В и С. Рентгеноструктурным исследованием соединения (II) установлен основной источник напряжений в соединениях голостанового ряда — конформация искаженной ванны цикла С [7]. Такой же вывод справедлив и в отношении соединений (I) и (III). Таким образом, как в тритер-

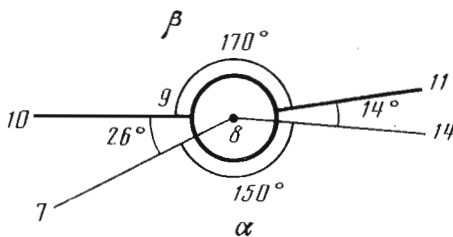
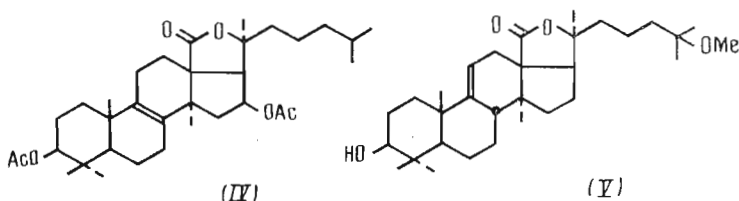


Рис. 3. Проекция Ньюмена вдоль связи $C_8=C_9$ в соединении (IV)

пеноидах ланостанового ряда, так и в их производных голостанового ряда миграция 7(8)-двойной связи наблюдается только в соединениях с фрагментом 9β -Н-7(8)-ена.

Полное представление о конформационных изменениях в сочлененных циклах В и С в результате смещения двойной связи в положение 8(9) получено рентгеноструктурным исследованием соединения (IV) [8]. Конформация цикла В изменяется от 5α -софы в агликоне (I) до формы, промежуточной между 5α -софой и креслом, в соединении (IV). Конформация цикла С изменяется от скрученной ванны до $13\beta,14\alpha$ -полукресла, искаженного в сторону 13β -софы. Геометрия двойной связи при сочленении циклов В и С существенно разуплощена (рис. 3), причем наиболее значительно искажена тригональная конфигурация связей атома C8. Геометрия двойной связи указывает на то, что наиболее удобной для атаки протона становится β -область молекулы.



Особенности стереохимии сочлененных циклов В и С в соединении (IV) объясняют дальнейшую миграцию двойной связи в положение 9(11).

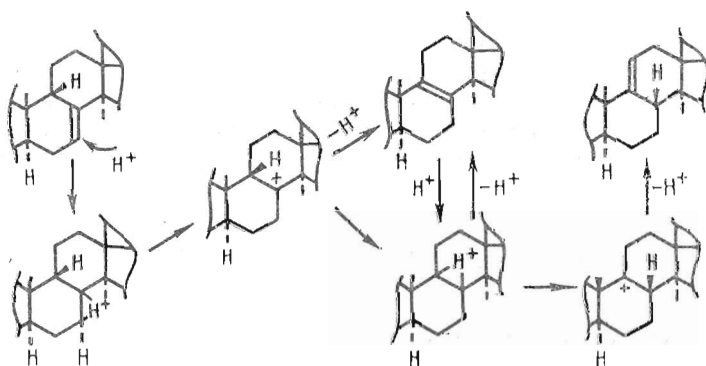
Координаты неводородных атомов молекулы соединения (I) $\times 10^4$
В скобках стандартные отклонения

Атом	x/a	y/b	z/c	Атом	x/a	y/b	z/c
C1	5689(3)	4434(8)	11 732(2)	C19	7561(3)	5408(8)	12 457(3)
C2	5379(3)	4499(8)	12 520(2)	C20	8067(3)	3807(7)	8 459(2)
C3	5516(3)	2475(8)	12 943(3)	C21	7173(3)	5136(8)	7 918(2)
C4	6644(3)	1765(7)	13 276(2)	C22	8806(3)	3417(8)	7 986(2)
C5	6988(3)	1793(7)	12 486(2)	C23	8450(3)	1821(7)	7 258(2)
C6	8095(3)	1044(7)	12 705(3)	C24	9217(3)	1529(8)	6 849(2)
C7	8273(3)	730(7)	11 883(2)	C25	8921(3)	—47(8)	6 143(2)
C8	7750(2)	1729(7)	11 146(2)	C26	9628(3)	83(9)	5 634(3)
C9	7027(3)	3432(8)	11 102(2)	C27	8947(4)	—2106(9)	6 508(3)
C10	6813(3)	3751(8)	11 959(2)	C28	6989(3)	—613(7)	9 923(2)
C11	6105(3)	3471(8)	10 232(2)	C29	7312(3)	2986(8)	14 068(2)
C12	6437(3)	3669(8)	9 445(2)	C30	6655(3)	—400(8)	13 578(3)
C13	7522(3)	2823(7)	9 622(2)	C31	6643(3)	1257(8)	6 416(2)
C14	7777(3)	1077(7)	10 282(2)	C32	5703(3)	2210(9)	5 751(2)
C15	8811(3)	371(7)	10 265(2)	O3	5178(2)	2450(6)	13 652(2)
C16	8616(3)	422(7)	9 274(2)	O18	8730(2)	5284(6)	10 603(2)
C17	7741(3)	1977(7)	8 837(2)	O20	8666(2)	4925(6)	9 252(2)
C18	8353(3)	4426(7)	9 920(2)	O23	7468(2)	2450	6 609(2)
				O31	6670(2)	—323(6)	6 749(2)

Из эндоциклических торсионных углов в циклах В и С (рис. 2б) наименьшим является угол при связи C9—C11, и его значение на 9° меньше минимального угла при двойной связи. Цикл С в соединении (IV) фактически принял конформацию, соответствующую положению 9(11) двойной связи. Конформация цикла В в соединении (IV) уже близка к конформации кресла, характерной для соединений голостанового и ланостанового рядов с более стабильным фрагментом 8 β -Н-9(11)-ена. На более выгодное присоединение протона в положение 8 β указывает и характер искаженной тригональной конфигурации атома С8 в соединении (IV).

В результате миграции двойной связи в положение 9(11) циклы В и С принимают энергетически наиболее выгодные конформации для циклогексанового и циклогексенового колец: цикл В — кресла, цикл С — 13 β , 14 α -полукресла. На это указывают данные рентгеноструктурного анализа соединения (V), полученные группой Джерасси [5]. Значения торсионных углов в циклах В и С в соединении (IV), рассчитанные из координат атомов, приведены на рис. 2с.

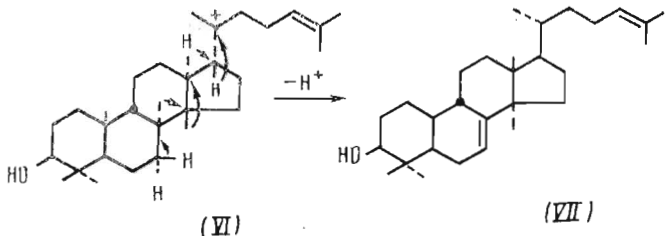
Механизм изомеризации соединений голостанового ряда с лабильным фрагментом 9 β -Н-7(8)-ена специально не исследован, однако, исходя из общих представлений, его можно изобразить так:



Данные рентгеноструктурного анализа указывают на предпочтительное протонирование β -области двойной связи 8(9). Уйео и др. [12] было показано, что при обработке абиеслактона дидейтерированной серной кислотой в дейтерометаноле образуется монодейтерированное производное с двойной связью в положении 9(11). Эти эксперименты указывают на возможность миграции атома водорода из положения 9 β в 8 β .

В соединениях голостанового ряда изомеризация двойной связи может сопровождаться миграцией лактонного цикла, обусловленной сближенностью карбонильной группы с атомами С8 и С9 (в соединении (I) расстояния O18...С8 = 3,069 Å, O18...С9 = 3,081 Å): при наличии гидроксип- или ацетоксизаместителя в положении 16 β наблюдается катализируемая кислотой перегруппировка лактона из положения 18 → 20 в положение 18 → 8 [8].

В гликозидах голотурий уже обнаружено около 10 агликонов с 7(8)-двойной связью, и все они имеют 9 β -конфигурацию. В противоположность этому в растениях абиеслактон является, по-видимому, пока единственным из известных тритерпеноидов содержащим фрагмент 9 β -Н-7-ена. Между тем в процессе циклизации окиси сквалена в ланостерин и циклоартенол [13—15] образуется промежуточный карбокатион (VI) с 9 β -конфигурацией, последующие трансформации которого подтверждены достаточно надежно [16—17]. Несомненно, что при превращении карбокатиона (VI) в циклоартенол или ланостерин важную роль играет специфичность ферментной системы, осуществляющей циклизацию. Вероятно, голотурии содержат ферментные системы, способные стабилизировать карбокатион (VI) за счет отщепления одного из протонов при атоме С7, а не при С9, как в других животных. В результате синтезируется продукт (VII)



с 7(8)-двойной связью и 9 β -конфигурацией; дальнейшие трансформации соединения (VII) могли бы приводить к голостанолам, сохраняющим эти структурные особенности. Интересно, что у голотурий (и морских звезд) обнаружено также аномально высокое содержание Δ^7 -стеринов [18, 19], но 9 β -конфигурация у них не обнаружена. Следовательно, биосинтез этих стеринов исключает стадию деметилирования соединения (VII).

Экспериментальная часть

Необходимые для рентгеноструктурного анализа монокристаллы соединения (I) ($C_{32}H_{50}O_5$) получены путем перекристаллизации в метаноле в виде бесцветных прозрачных призм.

Параметры элементарной ячейки и пространственная группа симметрии определены на автоматическом четырехкуружном дифрактометре «Синтекс Р2₁» при -120°C : пр. гр. $P2_1$, Z 2; a 14,036(4), b 6,748(2), c 16,630(2) Å, β 112,59(2) $^\circ$, V 1454 Å³, $D_{\text{выч}}$ 1,18 г/см³.

Интегральные интенсивности 3065 независимых отражений измерены на том же дифрактометре (MoK α -излучение, графитовый монохроматор, низкотемпературная приставка LT-1, температура -120°C). Структура определена прямым методом по программам MULTAN. Уточнение структуры выполнено методом наименьших квадратов с использованием 2751 отражения с $I \geq 1,96\sigma$ (I) до $R = 0,053$. Все расчеты выполнены по программам «Синтекс-EXTL» на ЭВМ «Эклипс S-200».

СПИСОК ЛИТЕРАТУРЫ

1. Habermehl G., Volkwein G. // Toxicon. 1971. V. 9. № 4. P. 319—326.
2. Roller P., Djerassi C., Cloetens R., Tursch B. // J. Amer. Chem. Soc. 1969. V. 91. № 47. P. 4918—4920.
3. Roller P., Tursch B., Djerassi C. // J. Org. Chem. 1970. V. 35. № 8. P. 2585—2593.
4. Kelecom A., Daloz D., Tursch B. // Tetrahedron. 1976. V. 32. № 19. P. 2313—2319.
5. Tan W. L., Djerassi C., Fayos J., Clardy J. // J. Org. Chem. 1975. V. 40. № 4. P. 466—470.
6. Ильин С. Г., Тарнопольский Б. Л., Сафина З. Ш., Соболев А. Н., Дзизенко А. К., Еляков Г. Б. // Докл. АН СССР. 1976. Т. 230. № 4. С. 860—861.
7. Kitagawa I., Kobayashi M., Inamoto T., Yasuzawa T., Kyogoku Y., Kido M. // Chem. Pharm. Bull. 1981. V. 29. № 4. P. 1189—1192.
8. Ильин С. Г., Решетняк М. В., Афиятуллов Ш. Ш., Стоник В. А., Соболев А. Н., Бельский В. К., Еляков Г. Б. // Докл. АН СССР. 1985. Т. 284. № 2. С. 356—359.
9. Еляков Г. Б., Стоник В. А., Афиятуллов Ш. Ш., Калиновский А. И., Шарыпов В. Ф., Коротких Л. Я. // Докл. АН СССР. 1981. Т. 259. № 6. С. 1367—1369.
10. Ильин С. Г., Шарыпов В. Ф., Стоник В. А., Малиновская Г. В., Уварова Н. И., Еляков Г. Б., Антипин М. Ю., Стручков Ю. Т. // III Всесоюзное совещание по органической кристаллохимии. Тез. докл. Черноголовка, 1981. С. 145.
11. Allen F. H., Isaacs N. W., Kennard O., Motherwell W. D. S. // J. Chem. Soc. Perkin Trans. 2. 1973. № 5. P. 498—503.
12. Irie H., Uyeo S., Kuriyama K. // Tetrahedron Lett. 1971. № 37. P. 3467—3470.
13. Eschenmoser A., Ruzicka L., Jeger O., Arigoni D. // Helv. chim. acta. 1955. B. 38. S. 1890—1904.
14. Corey E. J., Russey W. E. // J. Amer. Chem. Soc. 1966. V. 88. № 20. P. 4750—4751.
15. Van Tamelen E. E., Willett J. D., Clayton R. B., Lord K. E. // J. Amer. Chem. Soc. 1966. V. 88. № 20. P. 4752—4754.
16. Van Tamelen E. E., Freed J. H. // J. Amer. Chem. Soc. 1970. V. 92. № 24. P. 7206—7207.
17. Van Tamelen E. E., Murphy J. W. // J. Amer. Chem. Soc. 1970. V. 92. № 24. P. 7204—7206.

18. Nomura T., Tsuchiya G., Andre D., Barbier M. // Bull. Jap. Soc. Sci. Fish. 1969. V. 35. P. 293—298.
19. Kalinovskaya N. I., Kuznetsova T. A., Elyakov G. B. // Com. Biochem. and Physiol. B. 1983. V. 74. № 3. P. 579—601.

Поступила в редакцию
9.VII.1990

S. G. ILYIN, V. F. SHARIPOV, V. A. STONIK, M. Yu. ANTIPIН,
Yu. T. STRUCHKOV, G. B. ELYAKOV

THE CRYSTAL AND MOLECULAR STRUCTURE OF 23(S)-ACETOXY-9 β -
HOLOST-7-EN-3 β -OL AND STEREOCHEMICAL PECULIARITIES OF THE
DOUBLE BOND MIGRATION FROM POSITION 7(8) TO 8(9) AND 9(11)
IN TRITERPENOIDS OF THE HOLOSTANE ROW

Pacific Institute of Bioorganic Chemistry, Far East Division, Academy of Sciences of the
USSR, Vladivostok

X-Ray analysis of 23(S)-acetoxy-9 β -holost-7-en-3 β -ol, C₃₂H₅₀O₆, a native aglycone from the Stichopodidae holothurians glycosides, was carried out (diffractometer, λ Mo, $t = 120^\circ\text{C}$, 2751 reflections, direct method, anisotropic leastsquares refinement, $R = 0.053$). Monoclinic crystals: space group $P2_1$, $Z = 2$, $a = 14.036\text{ \AA}$, $b = 6.748\text{ \AA}$, $c = 16.630\text{ \AA}$, $\beta = 112.59^\circ$. The conformation of the molecule is established and the isomerisation of these genins having a labile fragment of 9 β -holost-7-ene is interpreted in stereochemical terms.